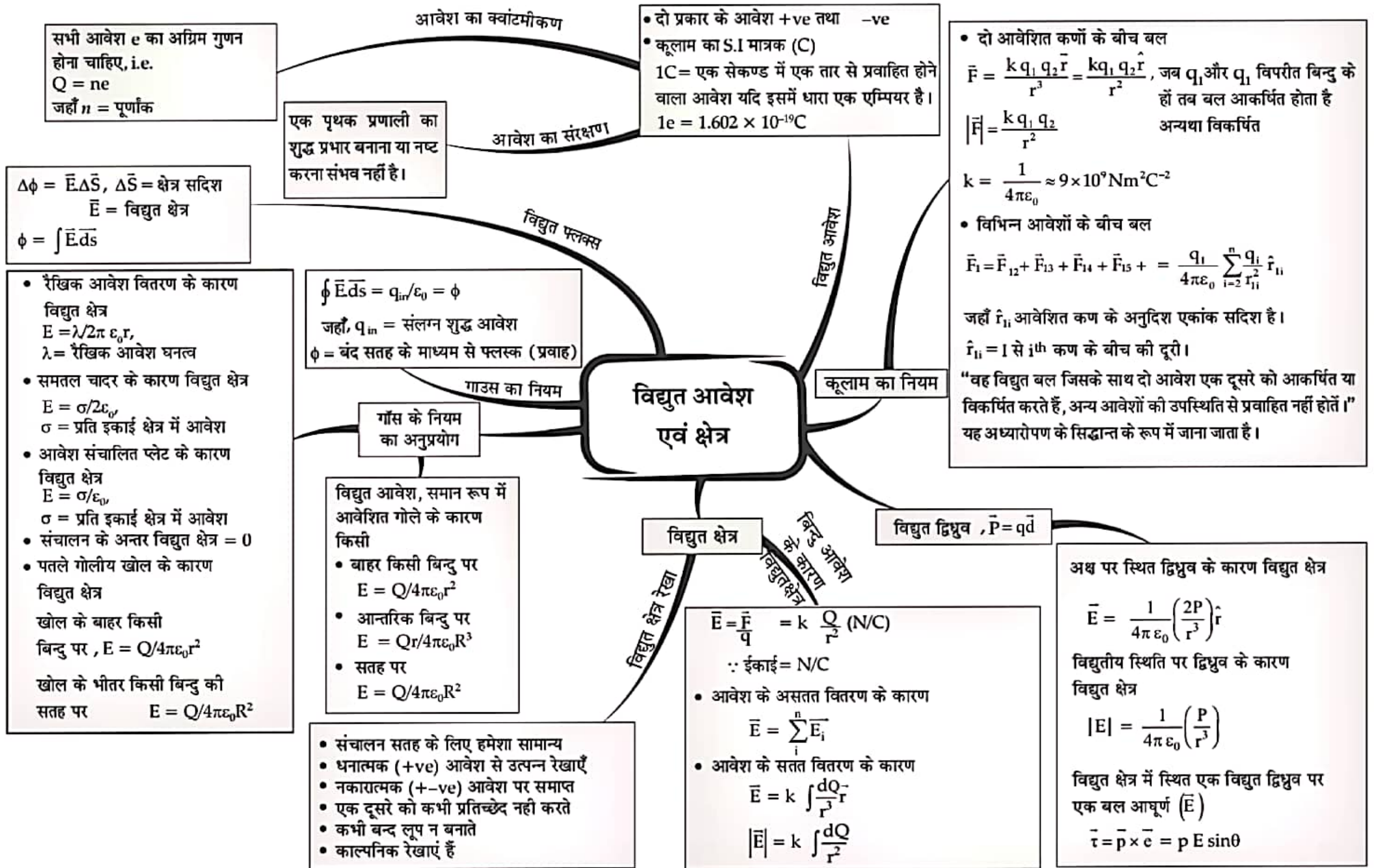
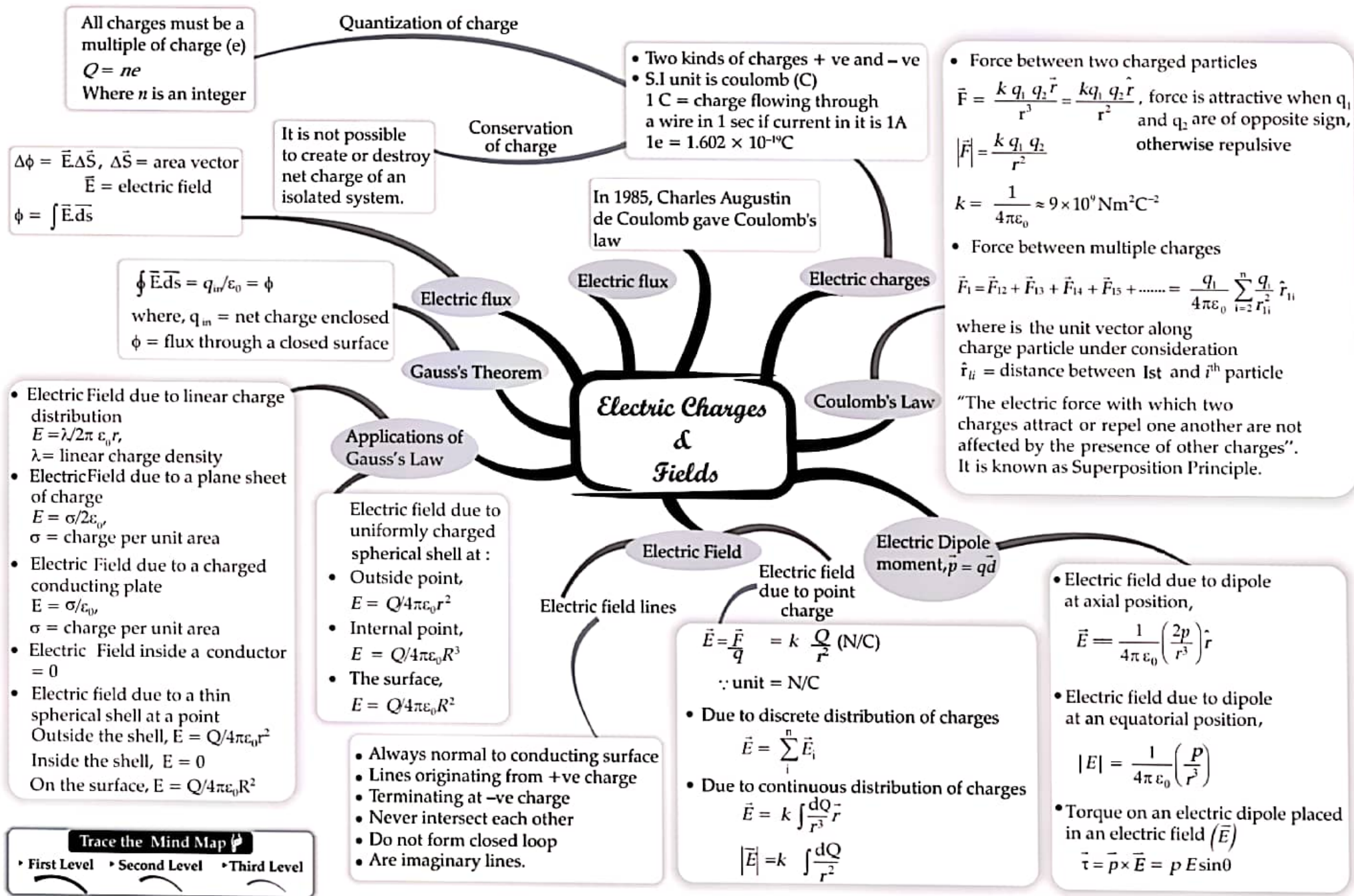


# अध्याय – 1 विद्युत आवेश एवं क्षेत्र





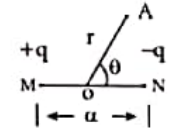
Trace the Mind Map

• First Level • Second Level • Third Level

# Electrostatic Potential and Capacitance

Electric potential due to a point charge  
 $V_p = Q/4\pi\epsilon_0 r$

Potential due to a system of charges  
 $V = \frac{1}{4\pi\epsilon_0} \sum \frac{Q_i}{r_i}$

Potential due to a dipole  
 $V = \frac{1}{4\pi\epsilon_0} \frac{p \cos\theta}{r^2}$   
 Where,  $p = qd$   
 $\theta = \angle AON$   
  
 At  $\theta = 0^\circ$ ,  $V = \frac{1}{4\pi\epsilon_0} \frac{p}{r^2}$  [axial position]  
 At  $\theta = 90^\circ$ ,  $V = 0$  [equatorial position]

• Work done per unit test charge by an external agent in moving the test charge from reference point to the desired point. Its SI unit is J/C  
 $V_0 = W/q_0$

In 1774, Alessandro Volta wrote treatise "on the forces of attraction of electric fire".

Conductors	Insulators
A material which when placed in an electric field, the free electrons move in a direction opposite to the field.	material in which electrons are tightly bound, and when exposed in an electric field, electrons do not move i.e. having no free electrons.

- Electric field inside a conductor is always zero.
- Electric field is always perpendicular to the charged surface.
- In static state, there will be no additional charge in a conductor.

- Dielectric
- Force  $F = \frac{q_1 q_2}{4\pi K\epsilon_0 r^2}$ ,  $K$  = dielectric constant of medium
  - A dielectric is an electrical insulator that can be polarized by "application of" electric field.

Capacitance,  $C = \frac{Q}{V}$   
 Capacitance of a parallel plate capacitor,  
 $C = K \epsilon_0 A/d$ ,  $K$  = dielectric constant

Capacitance when material slab is inserted between the plates  
 $C = K\epsilon_0 A / [Kd - x(K-1)]$   
 where,  $x$  = thickness of the slab inserted


Capacitance of a spherical capacitor,  
 $C = 4\pi\epsilon_0 \left( \frac{1}{R_1} - \frac{1}{R_2} \right)$   
 For isolated sphere,  
 $C = 4\pi\epsilon_0 R$

Energy stored in a capacitor,  
 $U = \frac{1}{2} CV^2 = \frac{Q^2}{2C} = 1/2 QV$

Series grouping of capacitors,  
 $\frac{1}{C} = \frac{1}{C_1} + \frac{1}{C_2} + \frac{1}{C_3} + \dots + \frac{1}{C_n}$   
 For two,  $C = \frac{C_1 C_2}{C_1 + C_2}$

Parallel grouping of capacitors,  
 $C = C_1 + C_2 + C_3 + \dots + C_n$   
 for two capacitors,  $C = C_1 + C_2$

Equipotential surface

- Potential is same at all the points of the surface.
  - Component of electric field parallel to an equipotential surface is zero.
- 

Electric potential energy

- It is negative count of work done by the electric force as the configuration of the system changes.

$U_{r_2} - U_{r_1} = -W = \frac{q_1 \cdot q_2}{4\pi\epsilon_0} \left( \frac{1}{r_2} - \frac{1}{r_1} \right)$

If the separation between charges is 'r', then  $U_{(r)} = \frac{q_1 \cdot q_2}{4\pi\epsilon_0 r}$

Potential Difference,  
 $V_B - V_A = \frac{U_B - U_A}{q}$   
 $U_B - U_A = \text{Change in Potential energy}$   
 $q = \text{Test charge}$

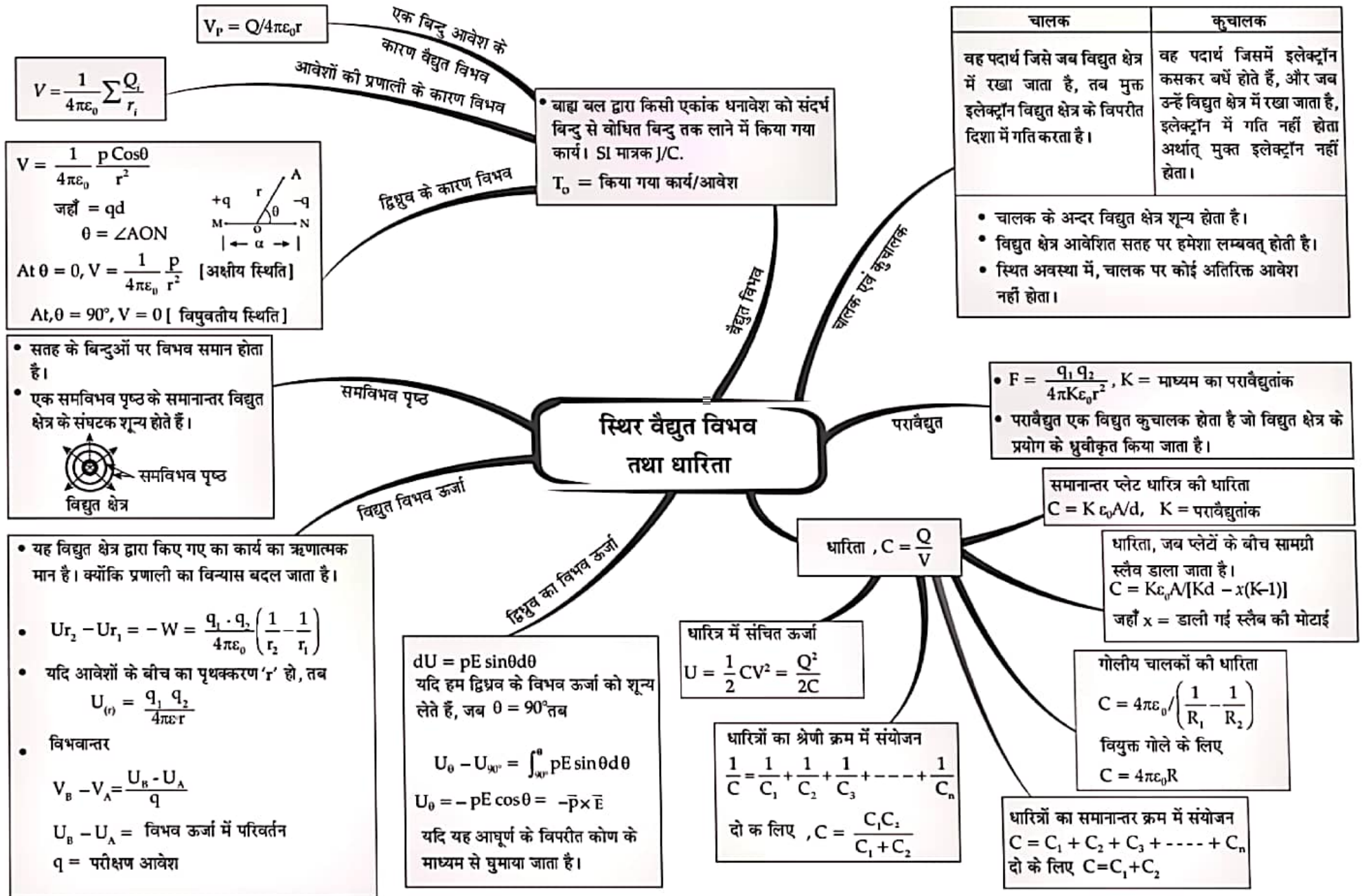
Potential energy of a dipole

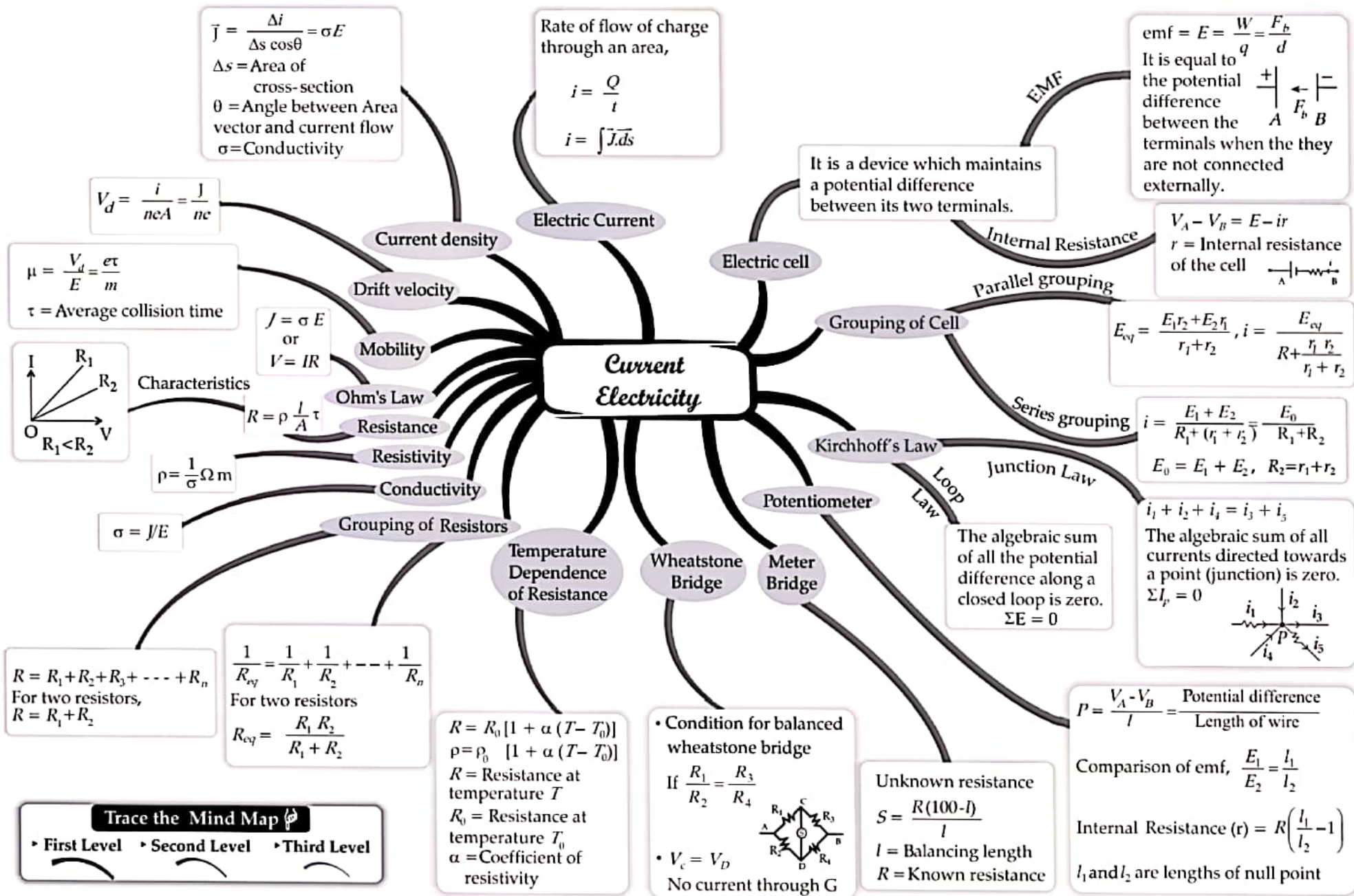
$dU = pE \sin\theta d\theta$   
 If we choose P.E. of dipole to be zero when  $\theta = 90^\circ$ , then  
 $U_0 - U_{90^\circ} = \int_{90^\circ}^{\theta} pE \sin\theta d\theta$   
 If it is rotated through angle  $\theta$  against the torque,  
 $U_0 = -pE \cos\theta = -\vec{p} \cdot \vec{E}$

**Trace the Mind Map**

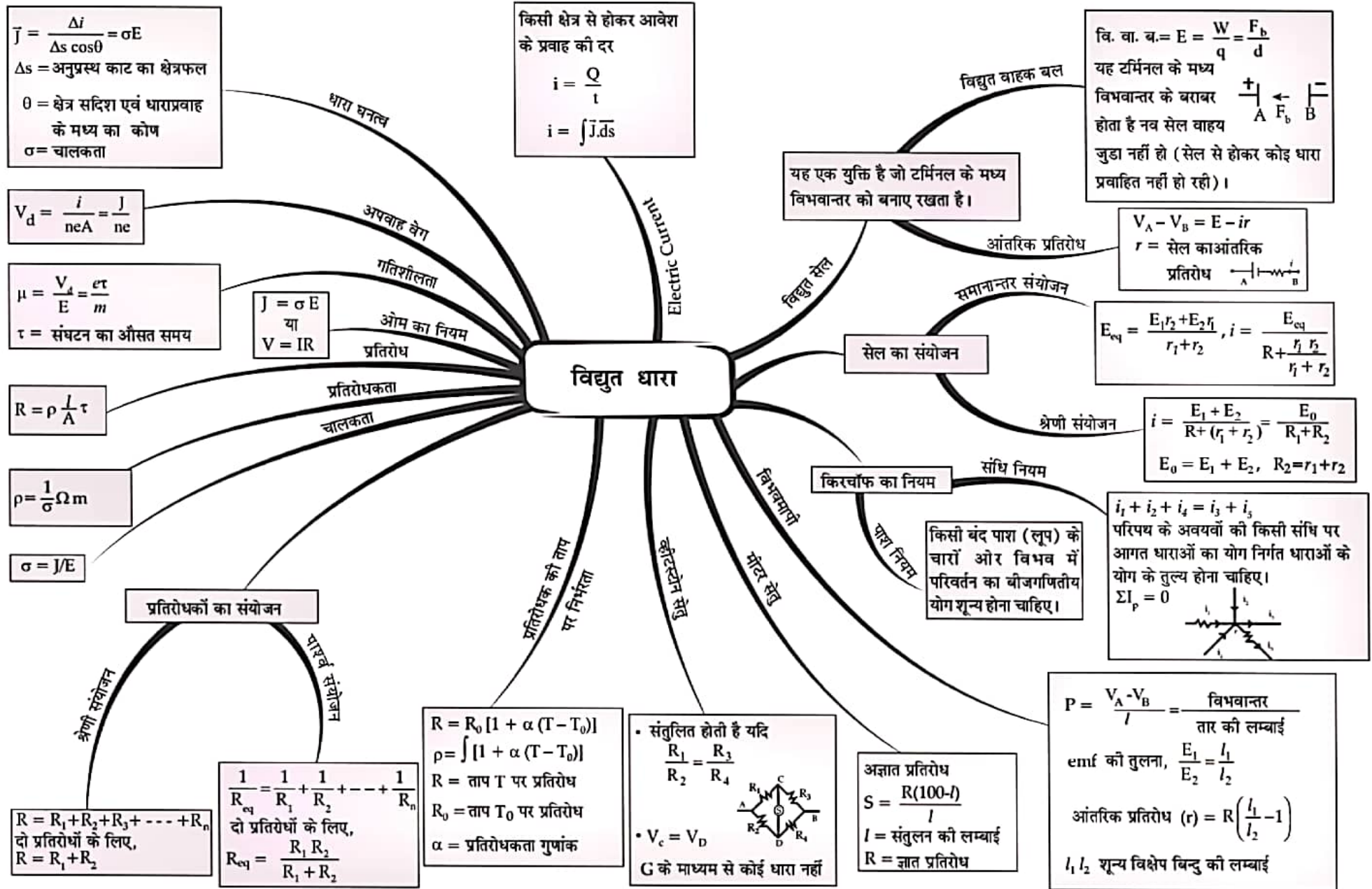
• First Level • Second Level • Third Level

## अध्याय – 2 स्थिर वैद्युत विभव तथा धारिता





# अध्याय – 3 विद्युत धारा



- It is a region around a magnet or current carrying conductor or a moving charge in which its magnetic effect can be felt
- SI unit is Tesla(T) = weber/m<sup>2</sup>
- 1 Gauss = 10<sup>-4</sup> Tesla where gauss is the CGS unit

To accelerate a charged particle (except electron)  
 Max. energy gained =  $\left(\frac{q^2 B^2}{2m}\right) p^2$

In April 1820, Hans Christian Oersted discovered that flow of current in a wire can deflect a nearby magnetic compass needle.

- Magnetic field at a point inside due to a long solenoid,  $B = \mu_0 n i$
- At a point on one end  $B = \frac{\mu_0 n i}{2}$  where  $n$  = number of turns per unit length along the length of solenoid.

$\vec{F} = q(\vec{v} \times \vec{B})$   
 $= qvB \sin\theta$

- For  $\theta = 0$ ,  $\vec{F} = 0$  along the magnetic field
- For  $\theta = 90^\circ$ , i.e. if charge's velocity is perpendicular to field direction, force is perpendicular to both field and velocity

$F = qvB = \frac{mv^2}{r}$   
 $r = \frac{mv}{qB}$  = Radius of the circle in which charge rotates

Time period (T) =  $\frac{2\pi m}{qB}$

$v$ (frequency) =  $\frac{1}{T} = \frac{qB}{2\pi m}$

If  $\theta \neq 0, 180^\circ, 90^\circ$   
 Then,  $F = qvB \sin\theta$   
 And the charge particle will follow helical path whose  
 $r = \frac{mv_1}{qB}$  and pitch =  $V_1 \times T = V_1 \times \frac{2\pi m}{qB}$

$\oint \vec{B} \cdot d\vec{l} = \mu_0 i$   
 where  $i$  = Total current crossing the area bounded by closed curve.

$B = \frac{\mu_0 N i}{2\pi r}$ ,  $N$  = Total Number of turns  
 $i$  = Current in toroid

# Moving Charges & Magnetism

Magnetic Field ( $\vec{B}$ )

Magnetic Force on a moving charge

biot-Savart Law

Magnetic field due to straight current carrying wire



Field due to a current carrying circular ring

$B = \frac{\mu_0 i}{4\pi d} (\sin\theta_1 + \sin\theta_2)$   
 where  $\theta_1$  and  $\theta_2$  are the angles corresponding to the lower and upper ends respectively  
 i.e.  $\theta_1 = 0$   
 $\theta_2 = \pi$   
 $B = \frac{\mu_0 i}{2\pi d}$

Oersted's Law

Ampere's Law

Solenoid

Magnetic field due to Toroid

Definition of Ampere

Galvanometer

Sensitivity

Ammeter

Voltmeter

Field at a point far away from the centre

Field at an axial point

$B = \frac{\mu_0 i}{2a}$

$B = \frac{\mu_0 i a^2}{2(a^2 + d^2)^{3/2}}$

i.e. for  $d \gg a$

$B = \frac{\mu_0 i a^2}{2d^3}$

**Trace the Mind Map**  
 • First Level • Second Level • Third Level

Force on a current carrying conductor

$d\vec{F} = i(d\vec{l} \times \vec{B})$   $F = i l B$

Force between parallel current carrying wires

$F = \frac{\mu_0 i_1 i_2}{2\pi d}$

Torque experienced by a loop in uniform magnetic field

$\vec{\tau} = \vec{M} \times \vec{B}$   
 $\tau = N B i A$

If two parallel wire kept 1 m apart, if and  $F = 2 \times 10^{-7}$  N, then current = 1A in each wire.

Voltage sensitivity =  $NBA/CG$  current sensitivity =  $NBA/C$

$S = \frac{I_g - G}{I_r - I_g}$

$R = \frac{V}{I_g} - G$

# अध्याय – 4 गतिमान आवेश और चुम्बकत्व

यह एक चुम्बक या धारा प्रवाह वाले चालक या गतिमान आवेश के आसपास का क्षेत्र है जिसमें इसके चुम्बकीय प्रभाव को महसूस किया जा सकता है।

अप्रैल 1820 में हंस क्रिश्चियन ऑस्टेड ने खोज की कि तार में प्रवाहित धारा नजदीकी चुम्बकीय सूई में विक्षेप उत्पन्न करता है।

$$\oint \vec{B} \cdot d\vec{l} = \mu_0 i$$

जहाँ  $i$  = बंद वक्र द्वारा परिवद्ध क्षेत्र से पार करने वाली कुल धारा।

- लम्बी परिनालिका के कारण एक आन्तरिक बिन्दु पर चुम्बकीय क्षेत्र  $B = \mu_0 n i$
  - एवं एक छोर पर बिन्दु  $B = \frac{\mu_0 n i}{2}$
- जहाँ  $n$  = परिनालिका के लम्बाई के साथ प्रति ईकाई लम्बाई फेरों की संख्या।

$$B = \frac{\mu_0 N i}{2\pi r}, \quad N = \text{फेरों की कुल संख्या}$$

$i$  = टोरोइड में धारा

$$d\vec{F} = i d\vec{l} \times \vec{B}, \quad F = i l B$$

$$F = \frac{\mu_0 i_1 i_2}{2\pi d}$$

$$\vec{\pi} = MB \sin\theta \hat{n} = \vec{M} \times \vec{B}$$

यदि दो समानान्तर तार  $l$  म की दूरी पर रखा जाए, यदि  $F = 2 \times 10^{-7}$ , तब प्रत्येक में धारा = 1A

गतिमान कुंडली गैल्वेनोमीटर की सुग्राहिता है  $nBA/K$

$$S = \frac{I_g}{I_r I_g} G$$

$$R = \frac{V}{I_g} - G$$

गैल्वेनोमीटर से वोल्टमीटर

केंद्र से दूर एक बिन्दु पर क्षेत्र

$$B = \frac{\mu_0 i a^2}{2d^3}$$

(i.e.) के लिये  $d \gg a$

$$B = \frac{\mu_0 i a^2}{2(a^2 + d^2)^{3/2}}$$

$$B = \frac{\mu_0 i}{2a}$$

$$B = \frac{\mu_0 i}{2\pi d}$$

$$B = \frac{\mu_0 i}{2\pi d}$$

## गतिमान आवेश और चुम्बकत्व

चुम्बकीय क्षेत्र

गतिमान आवेश पर चुम्बकीय बल

बायो-सावर्ट नियम



सीधी तार में प्रवाहित धारा के कारण चुम्बकीय क्षेत्र

$$B = \frac{\mu_0 i}{4\pi d} (\cos\theta_1 - \cos\theta_2)$$

जहाँ  $\theta_1$  एवं  $\theta_2$  क्रमशः निचली एवं ऊपरी छोर के कोण हैं।

$$\vec{F} = q\vec{v} \times \vec{B}$$

$$= qvB \sin\theta$$

- $\theta = 0$  के लिए  $\vec{F} = 0$  चुम्बकीय क्षेत्र के साथ
- $\theta = 90^\circ$  के लिए, अर्थात् यदि आवेश का वेग क्षेत्र की दिशा के लम्बवत् है तो बल क्षेत्र एवं वेग दोनों के लम्बवत् होती है।

$$F = qvB = \frac{mv^2}{r}$$

$$r = \frac{mv}{qB} = \text{वृत्त की त्रिज्या जिसमें आवेश घूर्णन करता है।}$$

$$\text{समय अवधि (T)} = \frac{2\pi m}{qB}$$

$$V (\text{आवृत्ति}) = \frac{1}{T} = \frac{qB}{2\pi m}$$

यदि  $\theta \neq 0, 180^\circ, 90^\circ$   
तब  $F = qvB \sin\theta$   
एवं आवेशित कण कुंडलिनो पथ का अनुसरण करेगा जिसका

$$r = \frac{m v_i}{q B} \text{ एवं पिच या चूड़ी अंतराल} = V_i \times T = V_i \times \frac{2\pi m}{q B}$$

$$d\vec{B} = \frac{1}{4\pi\epsilon_0 c^2} \frac{id\vec{l} \times \vec{r}}{r^3}$$

$$d\vec{B} = \frac{\mu_0}{4\pi} \frac{id\vec{l} \times \vec{r}}{r^3} \quad [\theta = d\vec{l} \text{ के बीच का कोण } \vec{r}]$$

$$dB = \frac{\mu_0}{4\pi} \frac{idl \sin\theta}{r^2}$$

क्षेत्र की दिशा, धारा तत्व युक्त पृष्ठ एवं अवलोकन बिन्दु के लम्बवत् होगा

जहाँ  $\mu_0 = \frac{1}{\epsilon_0 c^2}$   
 $= 4\pi \times 10^{-7} \text{ TmA}^{-1}$

एम्पीयर का नियम

परिनालिका

टोरोइड के कारण चुम्बकीय क्षेत्र

चालक में प्रवाहित धारा पर बल

समानान्तर धारा के बीच बल

एकसमान चुम्बकीय क्षेत्र में एक पाश (लूप) द्वारा अनुभव किया गया बल आघूर्ण।

एम्पीयर की परिभाषा सुग्राहिता

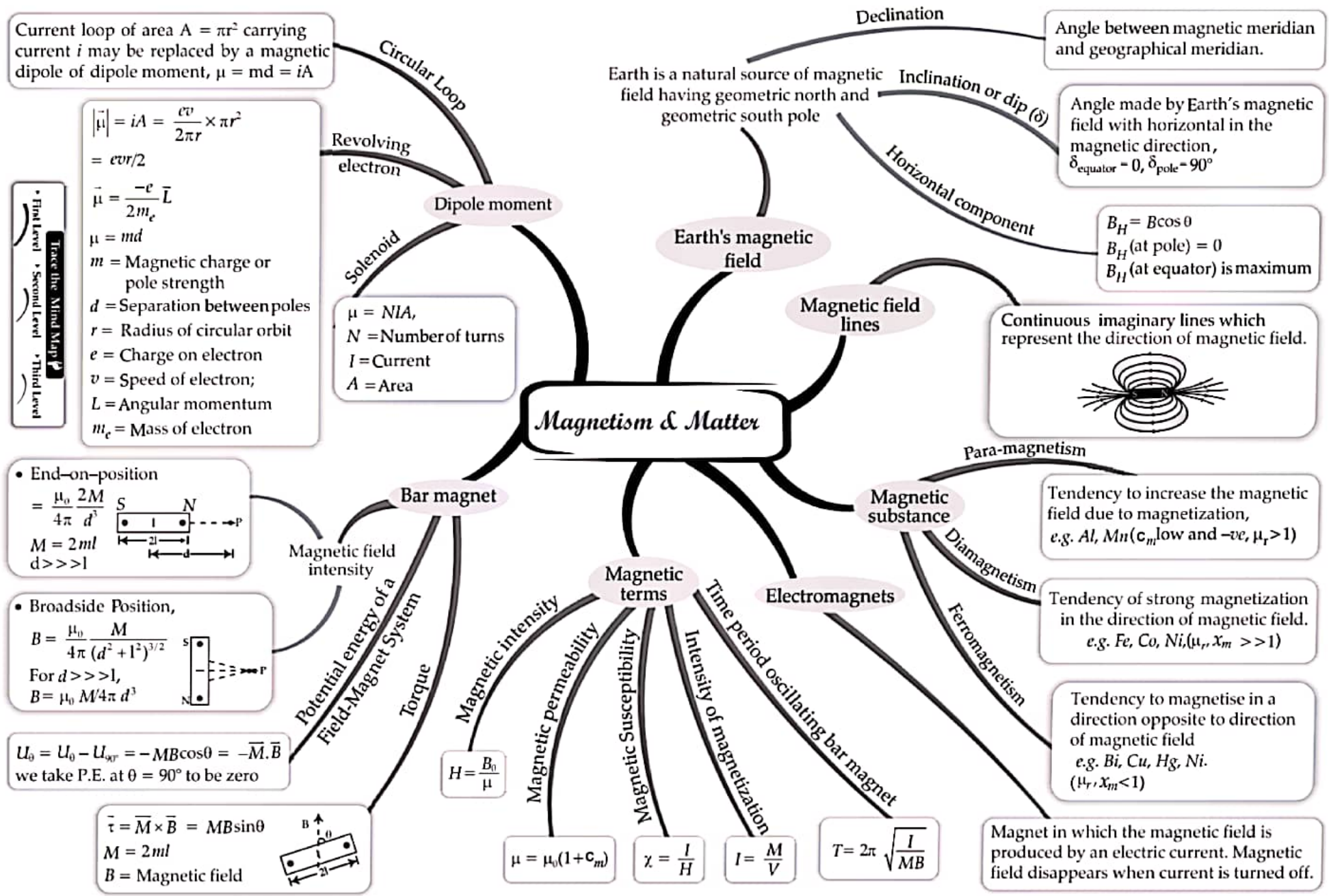
लम्बी सीधी तार में प्रवाहित धारा के कारण क्षेत्र

वृत्ताकार छल्ला में प्रवाहित धारा के कारण क्षेत्र

क्षेत्र

अक्षीय बिन्दु पर क्षेत्र





# अध्याय — 5 चुम्बकत्व एवं द्रव

क्षेत्र A के धारा लूप =  $\pi r^2$ , प्रवाहित धारा  $i$  द्विध्रुव आघूर्ण के चुम्बकीय द्विध्रुव द्वारा प्रतिस्थापित हो सकता है।

परिक्रमण करता इलेक्ट्रॉन

$$|\vec{\mu}| = iA = \frac{ev}{2\pi r} \times \pi r^2 = evr/2$$

$$\vec{\mu} = \frac{-e}{2m_e} \vec{L}$$

$$\mu = md$$

$m$  = चुम्बकीय आवेश या ध्रुव शक्ति  
 $d$  = ध्रुवों के बीच आलगाव  
 $r$  = वृत्तीय कक्ष की त्रिज्या  
 $e$  = इलेक्ट्रॉन पर आवेश  
 $v$  = इलेक्ट्रॉन की गति  
 $L$  = कोणीय संवेग  
 $m_e$  = इलेक्ट्रॉन का द्रव्यमान

द्विध्रुव आघूर्ण

परिनालिका

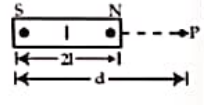
$\mu = NIA$ ,  
 $N$  = फेरों की संख्या  
 $I$  = धारा  
 $A$  = क्षेत्र

अग्र आस्थिति

$$= \frac{\mu_0 2M}{4\pi d^3}$$

$$M = 2ml$$

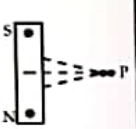
$d \gg \gg l$



पार्श्व आस्थिति

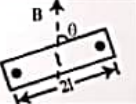
$$B = \frac{\mu_0 M}{4\pi (d^2 + l^2)^{3/2}}$$

$d \gg \gg l$  के लिए

$$B = \mu_0 M / 4\pi d^3$$


$U = U_0 - U_{\text{int}} = -MB \cos\theta = -\vec{M} \cdot \vec{B}$   
 हम स्थितिज ऊर्जा को  $\theta = 90^\circ$  पर शून्य लेते हैं।

$\vec{\tau} = \vec{M} \times \vec{B} = MB \sin\theta$   
 $M = 2ml$   
 $B =$  चुम्बकीय क्षेत्र



पृथ्वी चुम्बकीय क्षेत्र का प्राकृतिक स्रोत है जिसमें भौगोलिक उत्तर तथा भौगोलिक दक्षिणी ध्रुव है।

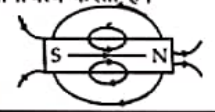
चुम्बकीय याम्योत्तर एवं भौगोलिक याम्योत्तर के बीच का कोण

चुम्बकीय दिशा में क्षैतिज के साथ पृथ्वी के चुम्बकीय क्षेत्र द्वारा बनाया गया कोण।  
 $\delta$  विपुवत = 0,  $\delta$  विपुवत ध्रुव =  $90^\circ$

नमन कोण या आनति ( $\delta$ )

$B_H = B \cos \theta$   
 $B_H$  (ध्रुव पर) = 0  
 $B_H$  (विपुवत पर) अधिकतम होता है।

निरन्तर काल्पनिक रेखाएं जो चुम्बकीय क्षेत्र की दिशा का प्रतिनिधित्व करती हैं।



## चुम्बकत्व एवं द्रव

चुम्बकीय क्षेत्र तीव्रता

छड़ चुम्बक

चुम्बकीय तीव्रता

चुम्बकीय पारगम्यता

विद्युत चुम्बक

दोलन करते छड़ चुम्बक की समय अवधि

चुम्बकीय प्रवृत्ति

$H = \frac{B_0}{\mu}$

$\mu = \mu_0(1 + \chi_m)$

$\chi = \frac{I}{H}$

$I = \frac{M}{V}$

$(T) = 2\pi \sqrt{\frac{I}{MB}}$

अनुचुम्बकत्व

चुम्बकीय पदार्थ

लौह चुम्बकत्व

प्रतिचुम्बकत्व

चुम्बकत्व के कारण चुम्बकीय क्षेत्र को बढ़ाने की प्रवृत्ति  
 e.g. Al, Mn ( $\chi_m, \mu_r > 1$ )

चुम्बकीय क्षेत्र की दिशा में मजबूत चुम्बकत्व की प्रवृत्ति।  
 e.g. Fe, Co, Ni ( $\mu_r, \chi_m \gg 1$ )

चुम्बकीय क्षेत्र की दिशा के विपरीत दिशा में चुम्बकत्व की प्रवृत्ति  
 e.g. Bi, Cu, Hg, Ni.  
 ( $\mu_r, \chi_m < 1$ )

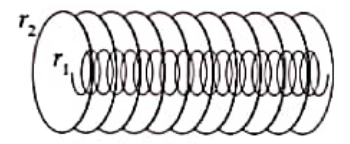
चुम्बक जिसमें चुम्बकीय क्षेत्र एक विद्युत प्रवाह द्वारा निर्मित होता है, धारा बंद होने पर चुम्बकीय क्षेत्र गायब हो जाता है।

• First Level  
• Second Level  
• Third Level

- Whenever magnetic flux through an area bounded by a closed conducting loop changes, an emf is produced in the loop.
- The emf is given by  $E = -d\phi/dt$  where  $\phi = \int \vec{B} \cdot d\vec{s}$  is the magnetic flux through the area.

In 1831, Michael Faraday discovered electromagnetic induction and James Clerk Maxwell mathematically described it.

$\phi = Mi$   
 $\frac{d\phi}{dt} = -M \frac{di}{dt}$   
 $M_{12} = \mu_0 n_1 n_2 \pi r_1^2 l$   
 $M_{21} = \mu_0 n_1 n_2 \pi r_2^2 l$   
 Emf induced in an AC generator,  $E = NBA\omega \sin \omega t$



# Electromagnetic Induction

Faraday's law of electromagnetic induction

Mutual induction

Lenz's law

Self induction

Self inductance of long solenoid

Eddy current

Rectangular loop

Induced EMF

Induced current

Motional EMF

EMF induced in a rotating conductor

The direction of the induced current is such that it opposes the change that has induced it.

If we consider a solenoid of N turns, the flux through each turn,  $\phi = \int \vec{B} \cdot d\vec{s}$ . EMF induced between the ends of coil,  $E = -N \frac{d}{dt} \int \vec{B} \cdot d\vec{s}$

$L = \mu_0 n^2 \pi r^2 l$   
 $n =$  Number of turns per unit length  
 $\phi =$  Flux =  $(\mu_0 ni) \pi r^2$   
 $r =$  Radius of each loop of solenoid

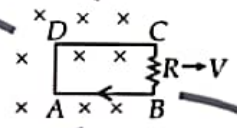
- Growth of current in LR Circuit  
 $i = \frac{E}{R} (1 - e^{-Rt/L}) = i_0 (1 - e^{-t/\tau})$
- Decay of current  
 $i = i_0 e^{-t/\tau}$
- Energy stored in an Inductor  
 $U = \frac{1}{2} Li^2$

It is induced when magnetic flux linked with the conductor changes.

Thermal power developed in the loop is  
 $P = \frac{v^2 B^2 l^2}{R}$

Magnetic force on the loop  
 $F = B^2 l^2 v / R$   
 = Force required to move the loop with constant velocity ( $v$ )

EMF induced  
 $E = vBl$   
 $i = \frac{vBl}{R}$



$E = \left| \frac{d\phi}{dt} \right| = \left| Bl \frac{dx}{dt} \right|$   
 $= Blv$   
 $i = Blv / (R+r)$

$r =$  Resistance of rod moving with velocity  $v$  in uniform magnetic field  $\vec{B}$

$E = \frac{1}{2} B\omega l^2$

Where  $l =$  Length of rod

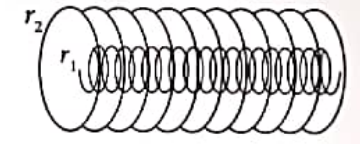
# अध्याय – 6 वैद्युतचुम्बकीय प्रेरणा

## वैद्युतचुम्बकीय प्रेरणा

1831 में माइकल फ़ैराडे ने वैद्युतचुम्बकीय प्रेरण की व्याख्या की तथा जैम्स मैक्सवेल ने इसकी गणितीय रूप से व्याख्या की।

- जब भी बंद चालक लूप (पाश) के माध्यम से चुम्बकीय फ्लक्स का प्रवाह होता है तो पाश (लूप) में विद्युत वाहक बल (emf) उत्पन्न होता है।
- विद्युत वाहक बल प्राप्त होता है  $E = -d\phi/dt$  जहाँ  $\phi = \int \vec{B} \cdot d\vec{s}$  क्षेत्र से होकर चुम्बकीय फ्लक्स है।

$\phi = Mi$   
 $\frac{d\phi}{dt} = -M \frac{di}{dt}$   
 $M_{12} = \mu_0 n_1 n_2 \pi r_1^2 l$   
 $M_{21} = \mu_0 n_1 n_2 \pi r_2^2 l$   
 प्रत्यावर्ती धारा जनित्र में प्रेरित वि. वा. बल,  $E = NBA\omega \sin \omega t$



लेंज का नियम  
 प्रेरित विद्युत धारा की दिशा इस प्रकार होती है कि वह उसे उत्पन्न करने वाले चुम्बकीय क्षेत्र परिवर्तन का विरोध करे।

स्वप्रेरण  
 $N$  फेरों की एक परिनालिका में, प्रत्येक फेरे से होकर फ्लक्स  $= \phi = \int \vec{B} \cdot d\vec{s}$   
 कुंडली के छोरों के मध्य प्रेरित वि. वा. तल  
 $= E = -N \frac{d}{dt} \int \vec{B} \cdot d\vec{s}$

लम्बी परिनालिका का स्व-प्रेरकत्व

$L = \mu_0 n^2 \pi r^2 l$   
 $n$  = प्रति इकाई लम्बाई फेरों की संख्या  
 $\phi$  = फ्लक्स  $= (\mu_0 n i) \pi r^2$   
 $r$  = परिनालिका के प्रत्येक पाश (लूप) की त्रिज्या

- परिपथ में विद्युत धारा में वृद्धि  
 $i = \frac{E}{R} (1 - e^{-t/R}) = i_0 (1 - e^{-t/R})$
- विद्युत धारा की क्षय  
 $i = i_0 e^{-t/R}$
- प्रेरित्र में संग्रहित विद्युत धारा  
 $U = \frac{1}{2} Li^2$

फ़ैराडे का वैद्युतचुम्बकीय प्रेरण का नियम

अच्योत्य प्रेरकत्व

लेंज का नियम

स्वप्रेरण

लम्बी परिनालिका का स्व-प्रेरकत्व

ध्रुव धाराएं

आयताकार लूप

प्रेरित विद्युत धारा

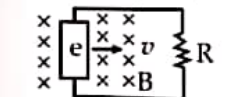
$$I = \frac{E}{R} = -\frac{1}{R} \frac{d\phi}{dt}$$

प्रेरित विद्युत वाहक बल

$$E = \frac{d\phi}{dt}$$

गतिक विद्युत वाहक बल

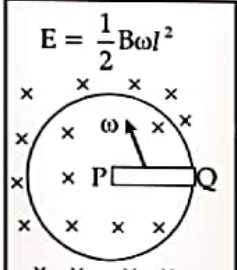
$E = \left| \frac{d\phi}{dt} \right| = \left| Bl \frac{dx}{dt} \right|$   
 $= Blv$   
 $i = vbl / (R+r)$



$r$  = एक समान चुम्बकीय क्षेत्र  $\vec{B}$  में वेग  $v$  से गतिमान छड़ का प्रतिरोध

घूर्णन करने वाले चालक में प्रेरित वि. वा. बल

$E = \frac{1}{2} B\omega l^2$

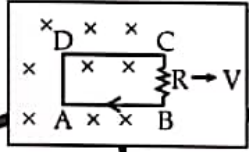


प्रेरित विद्युत वाहक बल  
 $E = vBl$   
 $i = \frac{vBl}{R}$

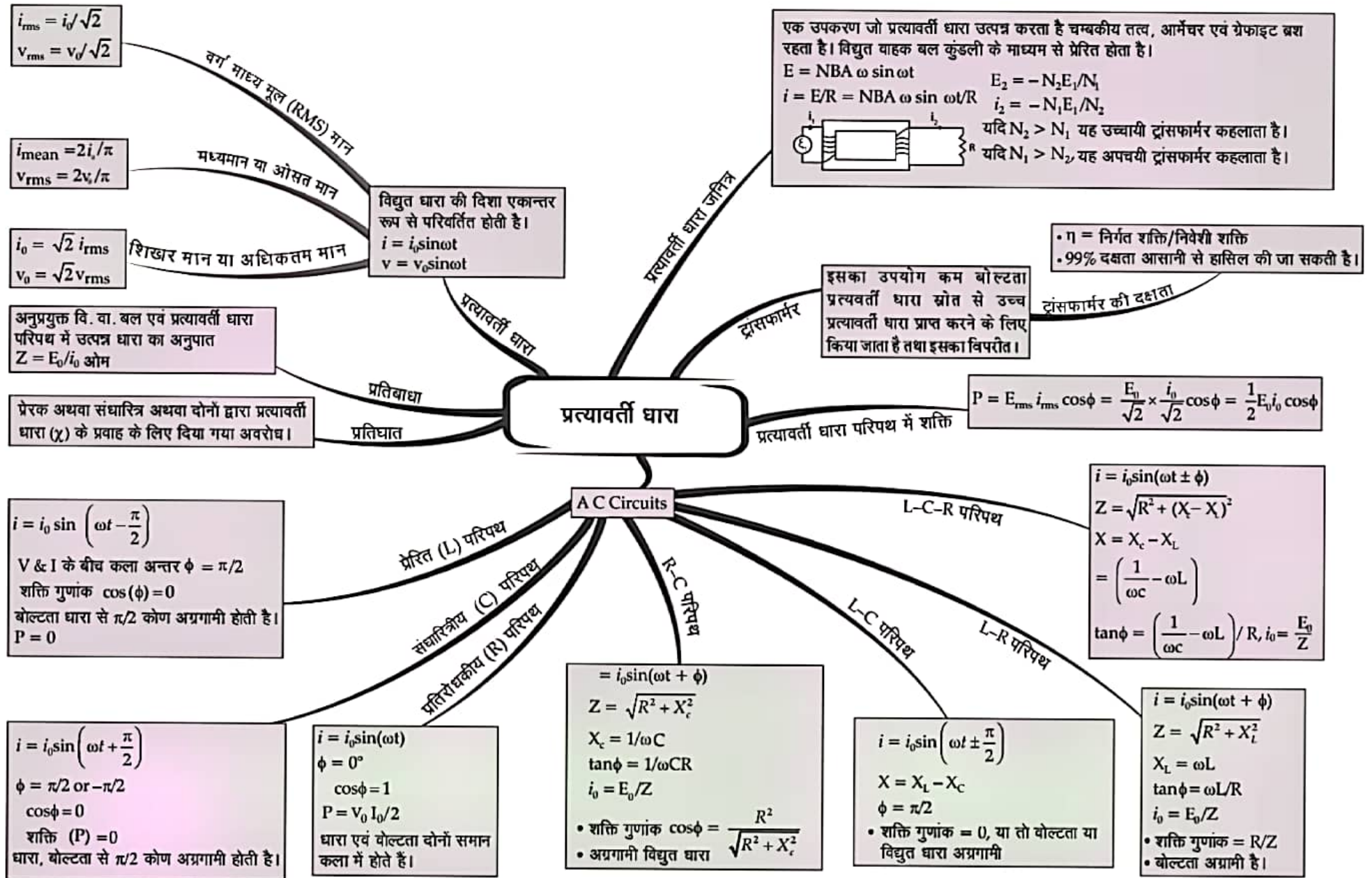
पाश (लूप) पर चुम्बकीय बल  
 $F = B^2 l^2 v / R$   
 = स्थिति वेग से पाश (लूप) की गति करने के लिए आवश्यक बल

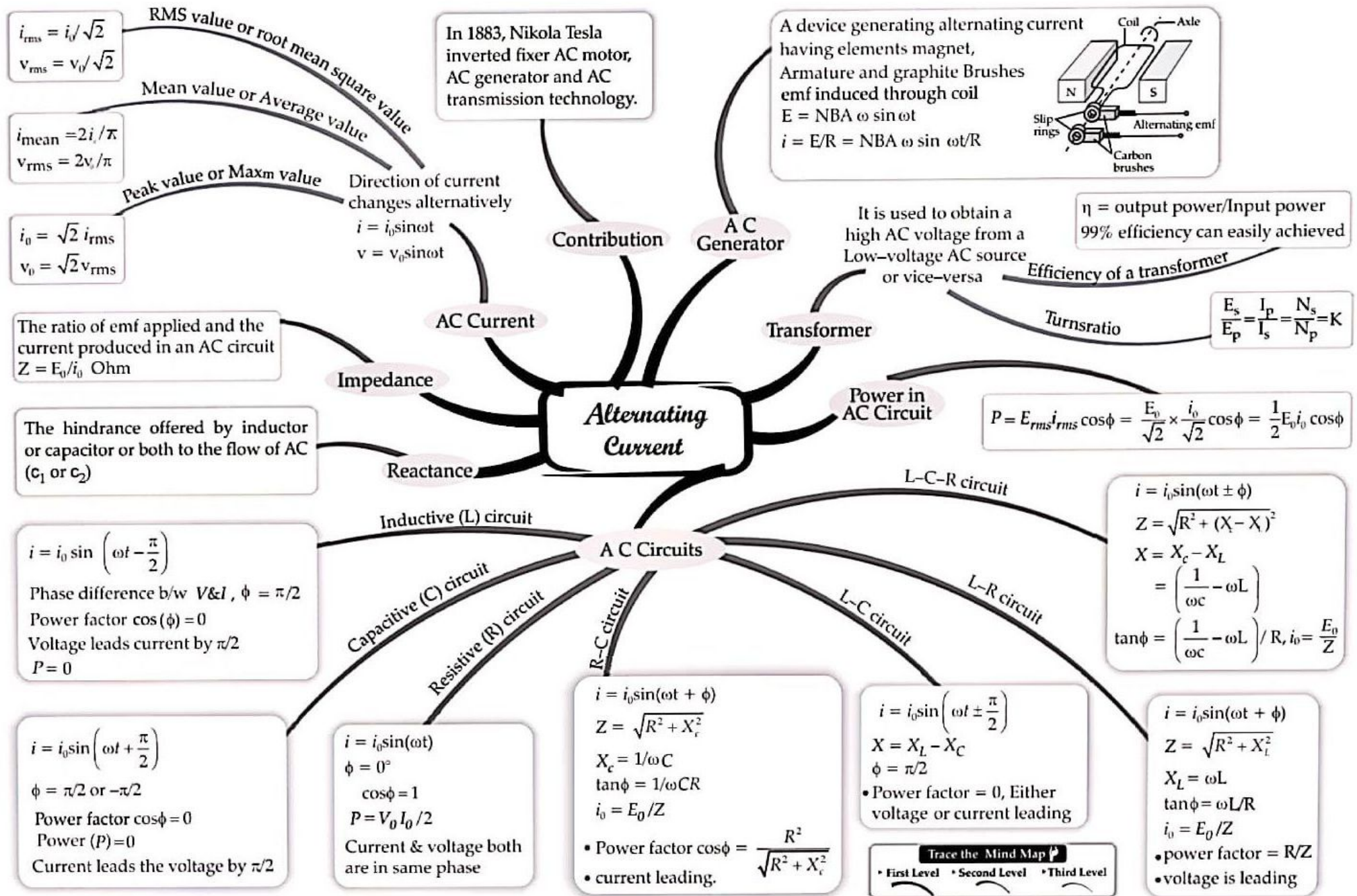
पाश (लूप) में विकसित तापीय ऊर्जा  
 $P = \frac{v^2 B^2 l^2}{R}$

जब चालकों के स्थूल टुकड़ों को परिवर्तनशील चुम्बकीय फ्लक्स के प्रभाव में रखते हैं तो उनमें प्रेरित धाराएं उत्पन्न होती हैं।

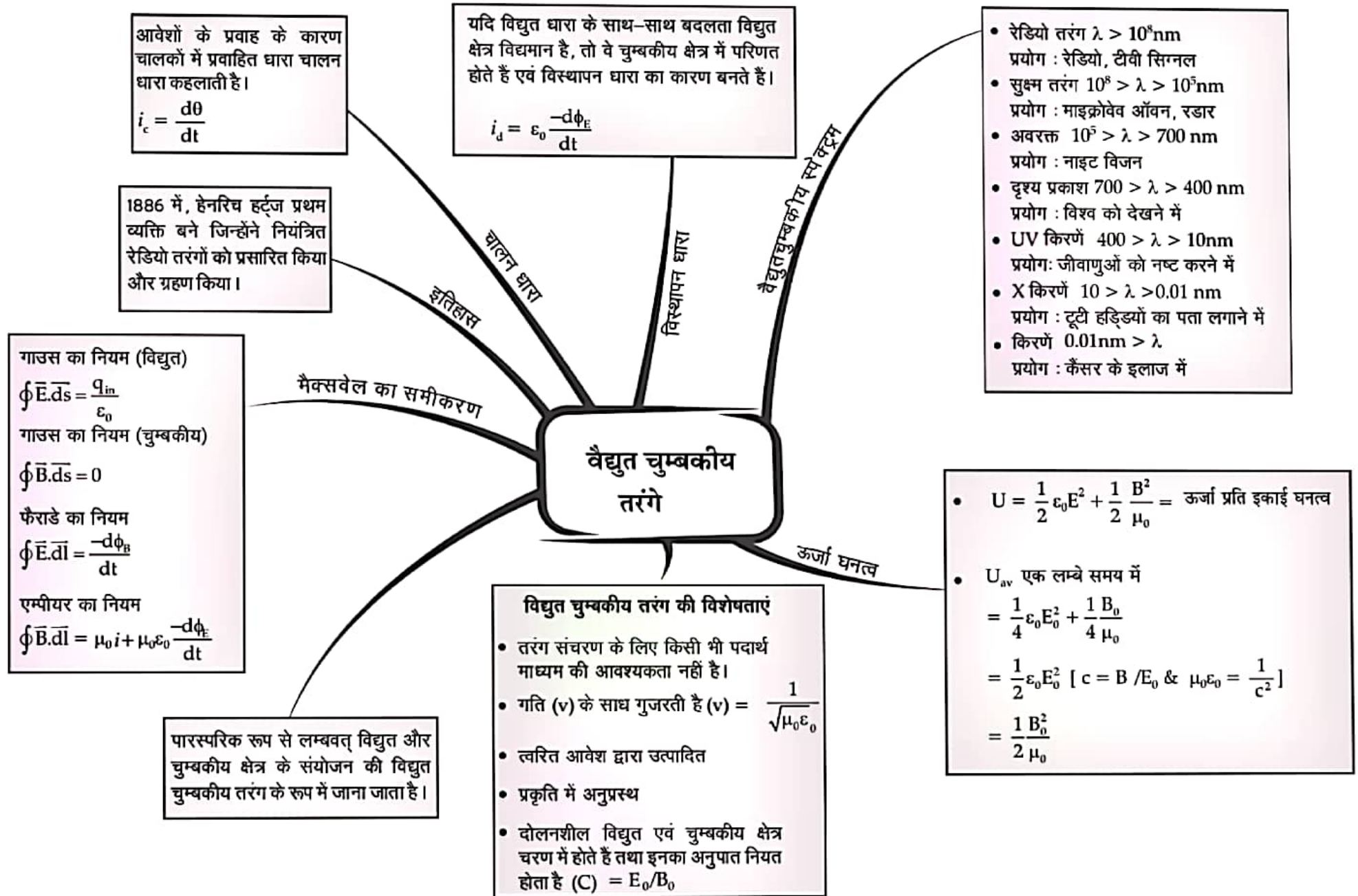


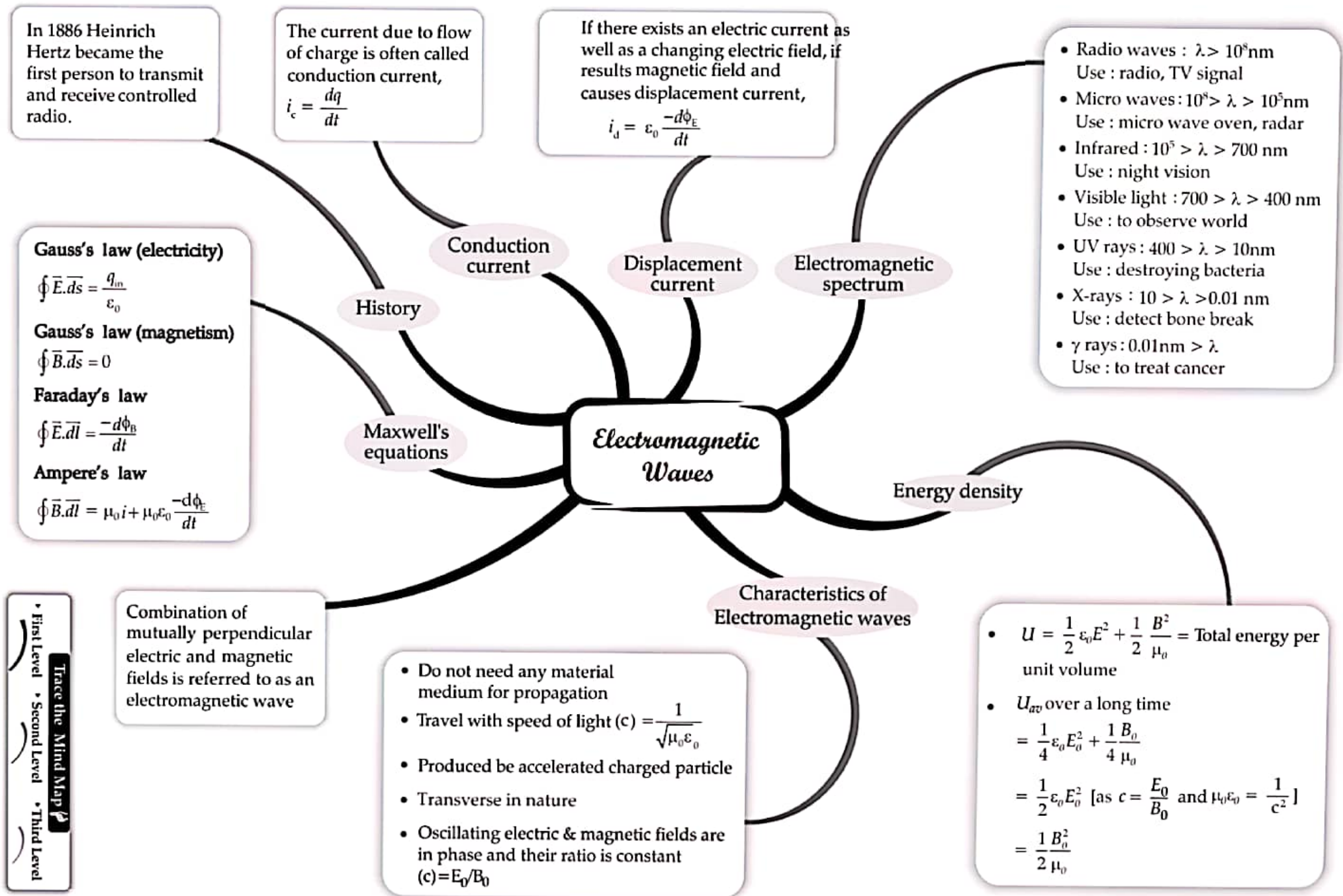
# अध्याय - 7 प्रत्यावर्ती धारा





## अध्याय – 8 वैद्युत चुम्बकीय तरंगे





Trace the Mind Map  
 • First Level  
 • Second Level  
 • Third Level



**3 DAYS 3 मैराथन**



**DDJ का CLIMAX**

**अभी बाकी है...**

**PHYSICS**

**NURSING**

**ENDGAME**

**LIVE ((📺))**

**DAY-1**

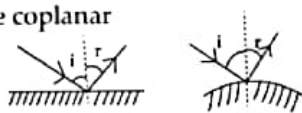
**Er. DEEPAK SIR**



# Ray Optics & Optical Instruments

- Pole is taken as origin
- Principle axis as the X-axis
- All distances are measured from origin (or pole)
- All distances measured in the direction of incident ray are taken + ve.
- All distances measured in the direction opposite to the incident ray are taken - ve.

- $\angle i = \angle r$
- Incident ray reflected ray and normal to the reflecting surface are coplanar



So hitting of polychromatic light into constituent colours.

Dispersion

Angle of deviation  $\delta = i - i' - A$   
 $\delta_{\text{minimum}} = 2i - A$  [ $i = i'$ ]  
 $\delta_{\text{minimum}} = (\mu - 1)A$ , if A is small



Light scattered i.e. redirected in different paths when interacts with particle. e.g., sunset & sunrise, colours blue colour of sky.

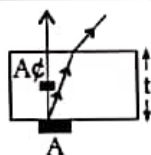
$$\frac{1}{u} + \frac{1}{v} = \frac{2}{R} = \frac{1}{f}$$

Lateral Magnification  $= \frac{h_2}{h_1} = -\frac{v}{u}$

$$\frac{\sin i}{\sin r} = \frac{v_1}{v_2} = \frac{\mu_2}{\mu_1}$$

$$\mu = \frac{\text{real depth}}{\text{apparent depth}}$$

$$\Delta t = \left(1 - \frac{1}{\mu}\right)t = \text{image shift}$$



When ray passes from optically denser to rarer medium, if incident angle (i) greater than critical angle, entire light is then reflected back to the denser medium again, this process is called T.I.R. It is used in optical fibre.

• Incident angle ( $\theta_c$ ) for which angle of refraction is  $90^\circ$   
 i.e.  $\sin \theta_c = 1/\mu$   
 $\theta_c = \sin^{-1}\left(\frac{1}{\mu}\right)$   
 When ray passes from optically denser to rarer medium.

Sign Conventions

Reflection of Light

Prism

Scattering of Light

Spherical Mirror

Refraction of light

Total Internal reflection

Critical Angle

Refraction on Spherical surface

Lens Maker's Formula

Power of a lens

Optical Instruments

Microscope

Compound Microscope

Telescope

$$M = 1 + \frac{D}{f}$$
 [image at near point]  
 $M = D/f$  [image at infinity]

$$M = \frac{v}{u} \left[ \frac{D}{f_e} \right]$$
 [normal adjustment]  

$$M = \frac{v}{u} \left( 1 + \frac{D}{f_e} \right) = -\frac{1}{f_o} \left( 1 + \frac{D}{f_e} \right)$$
  
 For final image at least distance

$$M = \frac{f_o}{f_e} \left( 1 + \frac{f_e}{D} \right)$$
 [image at near point]  
 $M = -\frac{f_o}{f_e}$  [image at infinity]

$$\frac{1}{v} - \frac{1}{u} = \frac{\mu_2 - \mu_1}{\mu_1} \left( \frac{1}{R_1} - \frac{1}{R_2} \right)$$

$$\frac{1}{f} = \left( \frac{\mu_2}{\mu_1} - 1 \right) \left( \frac{1}{R_1} - \frac{1}{R_2} \right)$$

$$\frac{1}{f} = (\mu - 1) \left( \frac{1}{R_1} - \frac{1}{R_2} \right)$$
 [If  $\mu_2 = \mu, \mu_1 = 1$  (air)]
 
$$\frac{1}{f} = \frac{1}{v} - \frac{1}{u}$$
 (lens formula)
 
$$\text{Lateral Magnification} = \frac{h_2}{h_1} = \frac{v}{u}$$

$$\frac{\mu_2}{v} - \frac{\mu_1}{u} = \frac{\mu_2 - \mu_1}{R}$$

$$\text{Lateral Magnification}$$

$$m = \frac{h_2}{h_1} = \frac{\mu_1 v}{\mu_2 u} = \frac{R - v}{R - u}$$

$$P = \frac{1}{f}$$

[For combination of lens when they are in contact]

$$P = \frac{1}{f_1} + \frac{1}{f_2}$$

[For combination of lens when they are separated]

$$P = \frac{1}{f_1} + \frac{1}{f_2} - \frac{d}{f_1 f_2}$$

Trace the Mind Map

• First Level • Second Level • Third Level

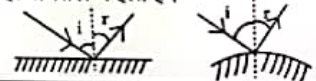
# अध्याय – 9 किरण प्रकाशिकी एवं प्रकाशिक यंत्र

## किरण प्रकाशिकी एवं प्रकाशिक यंत्र

- ध्रुव को उद्गम के रूप में लिया जाता है।
- मुख्य अक्ष को x-अक्ष के रूप में लिया जाता है।
- सभी दूरियाँ ध्रुव अथवा उद्गम से मापी जाती है।
- आपतित प्रकाश की दिशा में मापी गई दूरियाँ +ve ली जाती है।
- आपतित प्रकाश की विपरीत दिशा में मापी गई दूरियाँ -ve मानी जाती है।

•  $\angle i = \angle r$

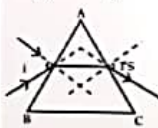
• आपतित किरण, परावर्तित किरण तथा परावर्तक पृष्ठ के आपतन बिन्दु पर अभिलम्ब एक ही समतल में होते हैं।



विचलन कोण  $\delta = i + i' + A$

$\delta$  न्यूनतम  $= 2i - A$  [ $i = i'$ ]

$\delta$  न्यूनतम  $= (\mu - 1)A$ , यदि  $A$  कम होता है।



प्रकीर्णित प्रकाश अर्थात् जब कणों के साथ परस्पर क्रिया कर विभिन्न पथों पर पुनर्निर्देशित। उदाहरण-सूर्यास्त, सूर्योदय, आकाश का नीला रंग।

$$\frac{1}{u} + \frac{1}{v} = \frac{2}{R} = \frac{1}{f}$$

पार्श्विक अवर्धन  $= \frac{h_2}{h_1} = -\frac{v}{u}$

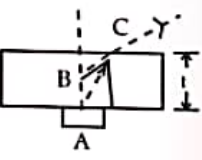
चिह्न परिपाटी

गोलीय दर्पण

परावर्तक का परावर्तन

$\frac{\sin i}{\sin r} = \frac{v_1}{v_2} = \frac{\mu_2}{\mu_1}$

$\mu = \frac{\text{वास्तविक गहराई}}{\text{आभासी गहराई}}$



$\Delta t = \left(1 - \frac{1}{\mu}\right)t = \text{प्रतिबिम्ब विस्थापन}$

प्रकाश का अपवर्तन

पूर्ण आन्तरिक परावर्तन

जब प्रकाश किसी प्रकाशतः सघन माध्यम से प्रकाशतः विरल माध्यम में गमन करता है, यदि आपतित कोण ( $i$ ) को आगे क्रांतिक कोण ( $\theta_c$ ) तक बढ़ाया जाता है, आपतित किरण पूर्णतः सघन माध्यम में परावर्तित हो जाती है। यह प्रक्रिया पूर्ण आन्तरिक परावर्तन कहलाती है। यह प्रकाशिक तंतु में प्रयुक्त होता है।

• वह आयतन कोण ( $\theta_c$ ) जिसका तदनुरूपी अपवर्तन कोण  $90^\circ$  होता है।

i.e.  $\sin \theta_c = 1/\mu$

$\theta_c = \sin^{-1}\left(\frac{1}{\mu}\right)$

जब किरण प्रकाशतः सघन माध्यम से विरल माध्यम में गमन करती है।

$$\frac{\mu_2}{v} - \frac{\mu_1}{u} = \frac{\mu_2 - \mu_1}{R}$$

पार्श्विक आवर्धन

$$m = \frac{h_2}{h_1} = \frac{\mu_1 v}{\mu_2 u} = \frac{R - v}{R - u}$$

$$\frac{1}{v} - \frac{1}{u} = \frac{\mu_2 - \mu_1}{\mu_1} \left( \frac{1}{R_1} - \frac{1}{R_2} \right)$$

$$\frac{1}{f} = \left( \frac{\mu_2}{\mu_1} - 1 \right) \left( \frac{1}{R_1} - \frac{1}{R_2} \right)$$

$$\frac{1}{f} = (\mu - 1) \left( \frac{1}{R_1} - \frac{1}{R_2} \right) \text{ [If } \mu_2 = \mu, \mu_1 = 1 \text{ (हवा)]}$$

$$\frac{1}{f} = \frac{1}{v} - \frac{1}{u} \text{ (लेंस सूत्र)}$$

पार्श्विक आवर्धन  $= \frac{h_2}{h_1} = \frac{v}{u}$

किरण

प्रकाश का प्रकीर्णन

सूक्ष्मदर्शी

$M = 1 + \frac{D}{f}$  [नजदीकी बिन्दु पर प्रतिबिम्ब]

$M = D/f$  [प्रतिबिम्ब अनन्त पर]

$M = \frac{v}{u} \left[ \frac{D}{f_c} \right]$  [सामान्य समायोजन]

$M = \frac{v}{u} \left( 1 + \frac{D}{f_c} \right) = -\frac{1}{f_c} \left( 1 + \frac{D}{f_c} \right)$

अंतिम प्रतिबिम्ब के लिए न्यूनतम दूरी

प्रकाशित यंत्र

संयुक्त सूक्ष्मदर्शी

दूरदर्शक

लेंस संयोजन का सूत्र

लेंस की क्षमता

$M = \frac{f_e}{f_o} \left( 1 + \frac{f_o}{D} \right)$  (नजदीकी बिन्दु पर प्रतिबिम्ब)

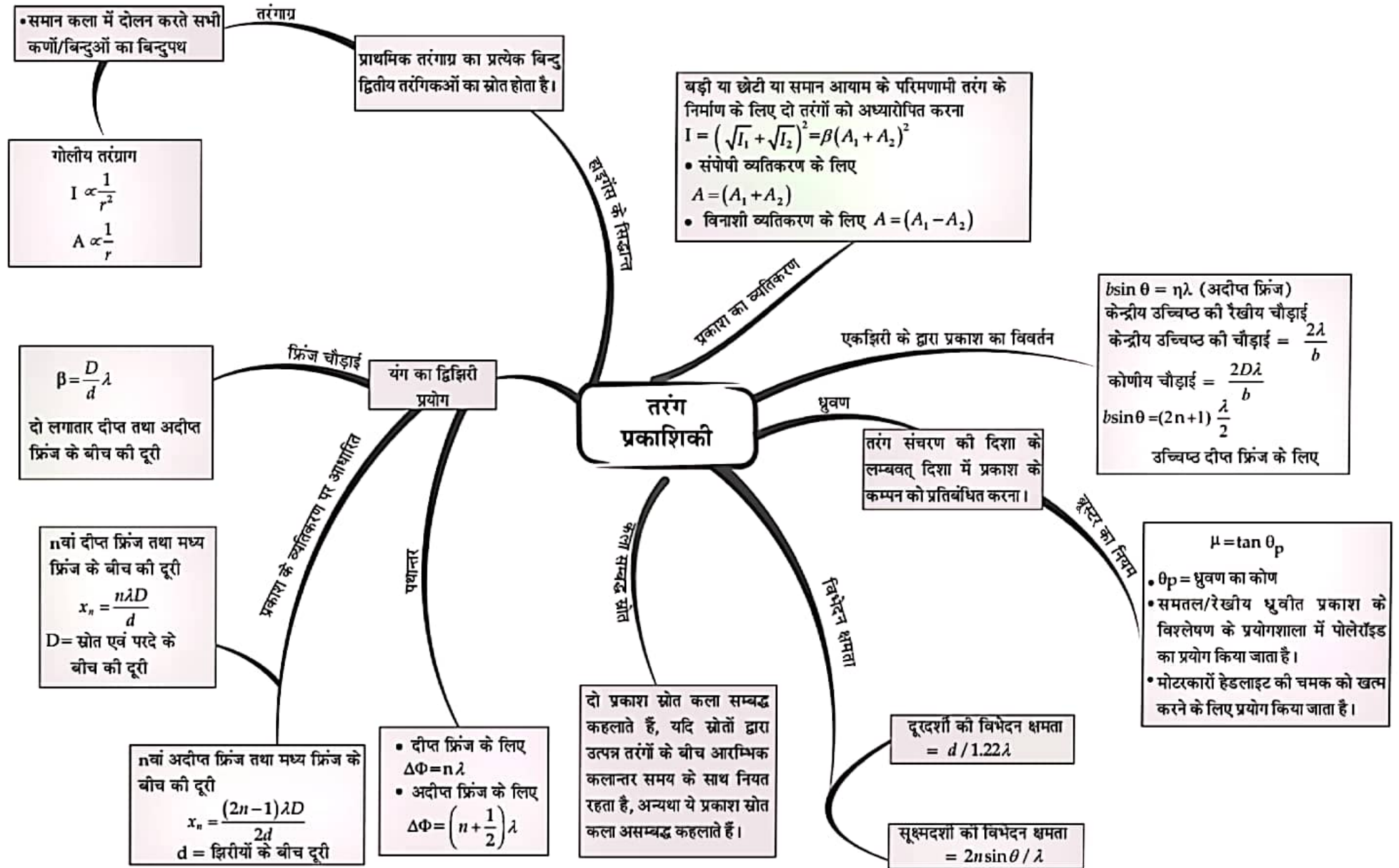
$M = -\frac{f_o}{f_e}$  (प्रतिबिम्ब अनन्त पर)

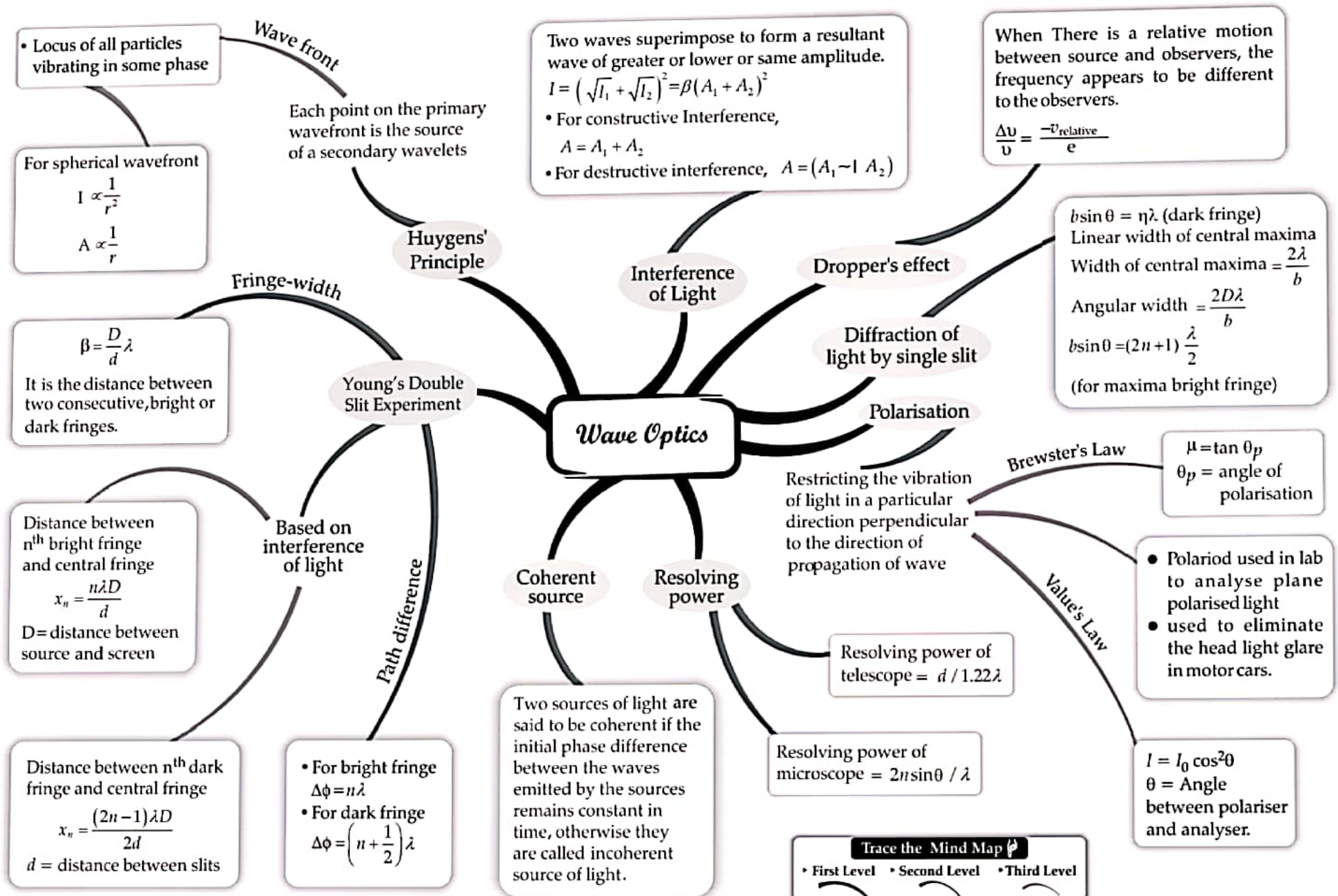
$P = \frac{1}{f}$

(लेंस के संयोजन के लिए)

$P = \frac{1}{f_1} + \frac{1}{f_2}$

# अध्याय – 10 तरंग प्रकाशिकी





Trace the Mind Map

• First Level • Second Level • Third Level



# Dual Nature of Radiation & Matter

## Contribution

Einstein, after an average academic career put forward quantum theory of light in 1905 while working as a grade III technical officer in a patent office.

- Light has both wave character as well as particle nature
- Interference can be explained by wave nature
- When light is of sufficiently small wavelength, it behaves as particle
- Light particles having definite energy and definite linear momentum are called "photons"  
Energy of each photon =  $h\nu = hc/\lambda$   
Momentum of each photon =  $h/\lambda = E/c$

## Matter waves

All matter can exhibit wave-like behaviour e.g., beam of electrons can be diffracted like a water wave

de-Broglie relation

$$\lambda = h/p$$

$\lambda$  = wavelength associated with particle or de-Broglie wavelength  
 $p$  = momentum  

$$\lambda = \frac{h}{mv} = \frac{h}{\sqrt{2mK_{max}}}$$

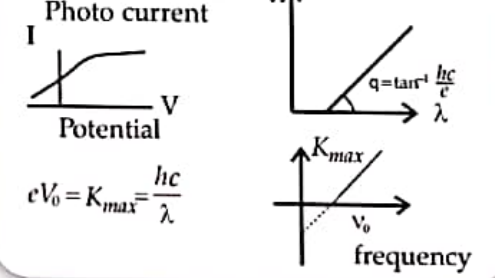
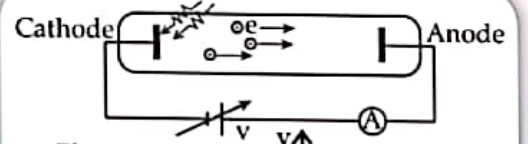
## Davisson-Germer Experiment

A beam of electrons emitted by an electron gun is made to fall on nickel crystal cut along cubical axis at a particular angle. Scattered beam of electrons is received by detector.

Results :  $\lambda$  = de Broglie's wavelength  
 $= h/p$   
 $= 1.227/\sqrt{v}$  nm  
 $= 1.227/\sqrt{54}$  nm  
 $= 0.167$  nm =  $1.67 \text{ \AA}$

This experiment verifies the wave nature of electrons & relation with de-Broglie wavelength.

## Hertz and Lenard's Observation



## Einstein's Photoelectric equation

- $K_{max} = E - \phi = eV_0$   
 $= \frac{hc}{\lambda} - \phi$ ,  $V_0$  = stopping potential  
 $K_{max}$  = maximum kinetic energy of ejected electrons  
 Here,  $\lambda_0 = hc/\phi$   
 $\lambda_0$  = Threshold Wavelength  
 $\lambda_0 = c/\nu_0 = \phi/h$   
 $\nu_0$  = Threshold frequency  
 $K_{max} = h(\nu - \nu_0)$

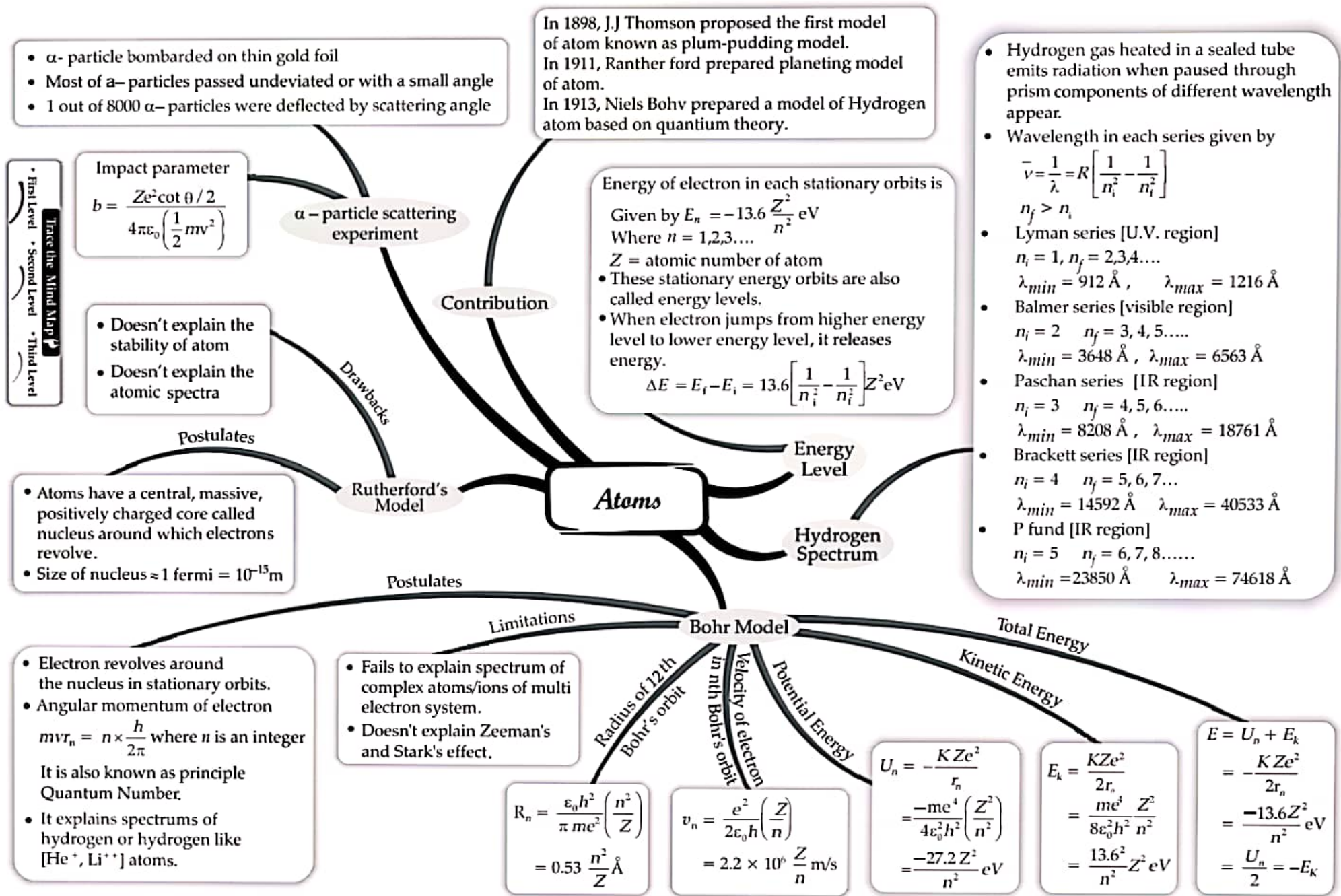
- If  $\lambda = \lambda_0 = hc/\phi$   
 $K_{max} = 0$ , i.e.  
 Electron may just come out onto the surface
- If  $\lambda > \lambda_0$   
 i.e.  $E < \phi$   
 no electron will come out
- If  $\lambda \leq \lambda_0$   
 Photoelectric effect takes place
- $\lambda_0$  = depends on metal used

## Dual Nature of Radiation

- When light of sufficient small wavelength is incident on metal surface, electrons are ejected from the metal, the phenomenon is called photoelectric effect.
- Ejected electrons are called photoelectrons
- Minimum energy equal to work function ( $\phi$ ) must be given to an electron so as to bring it out of the metal

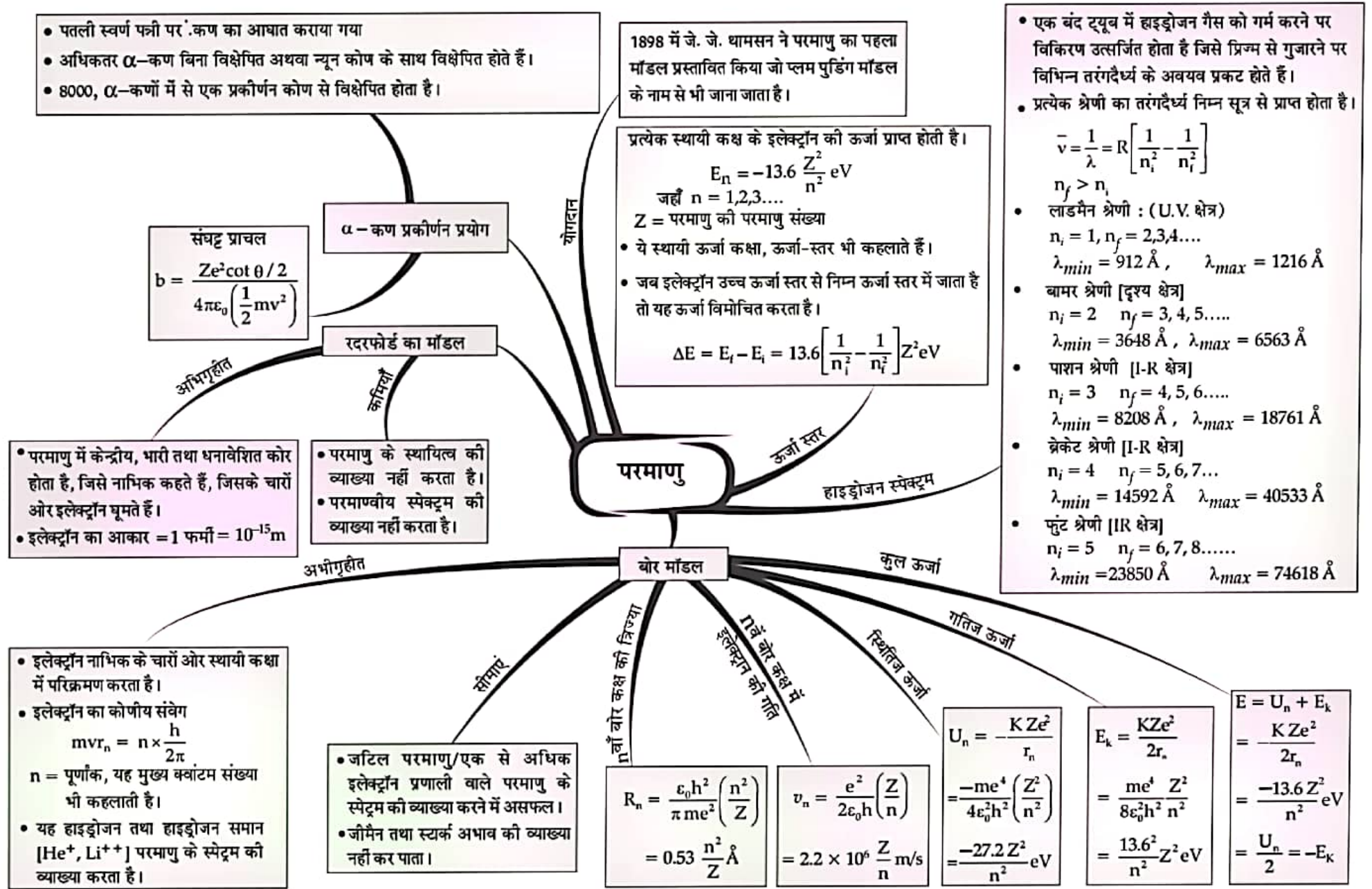
## Photoelectric Effect

Trace the Mind Map  
 • First Level • Second Level • Third Level

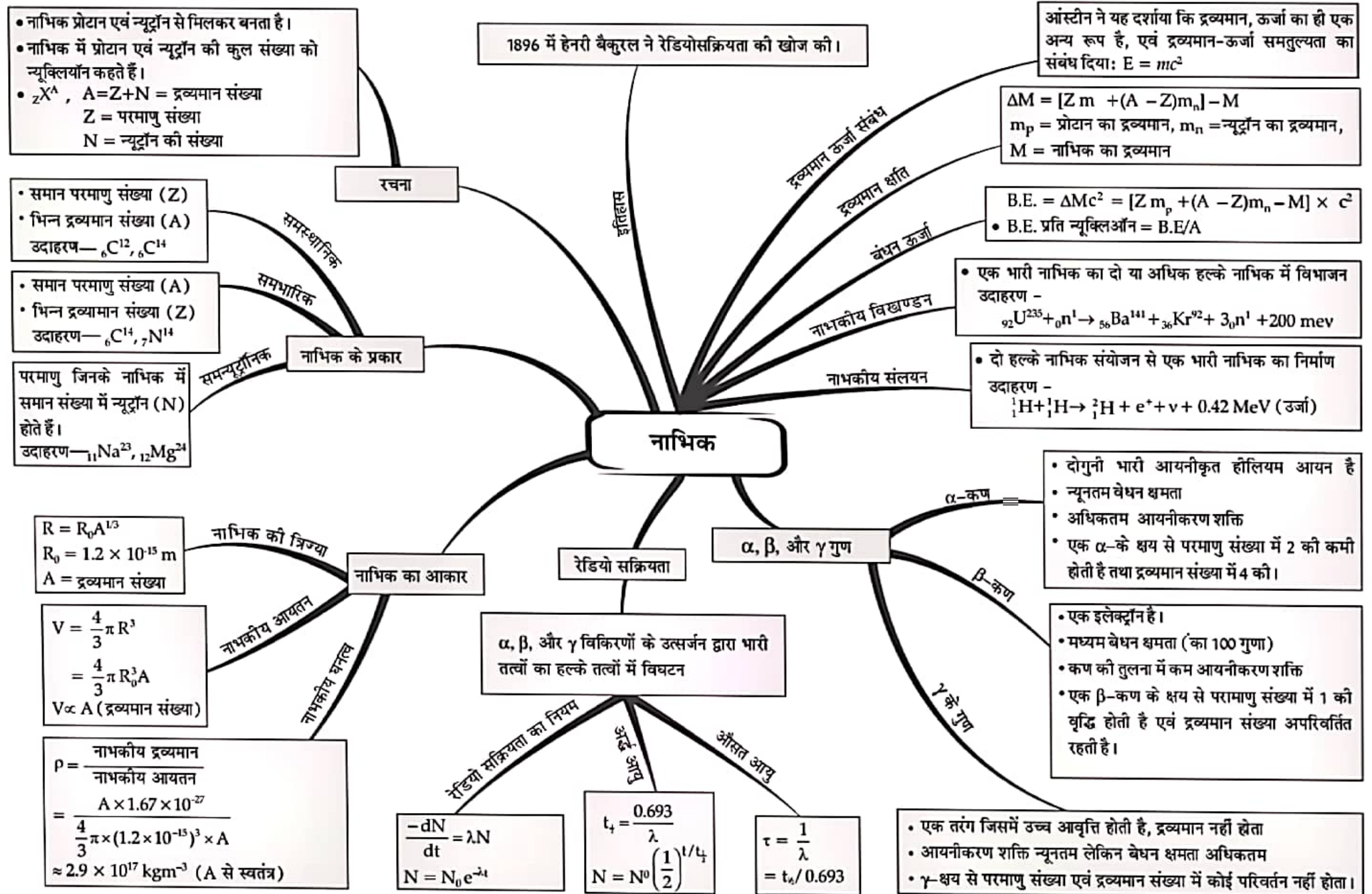


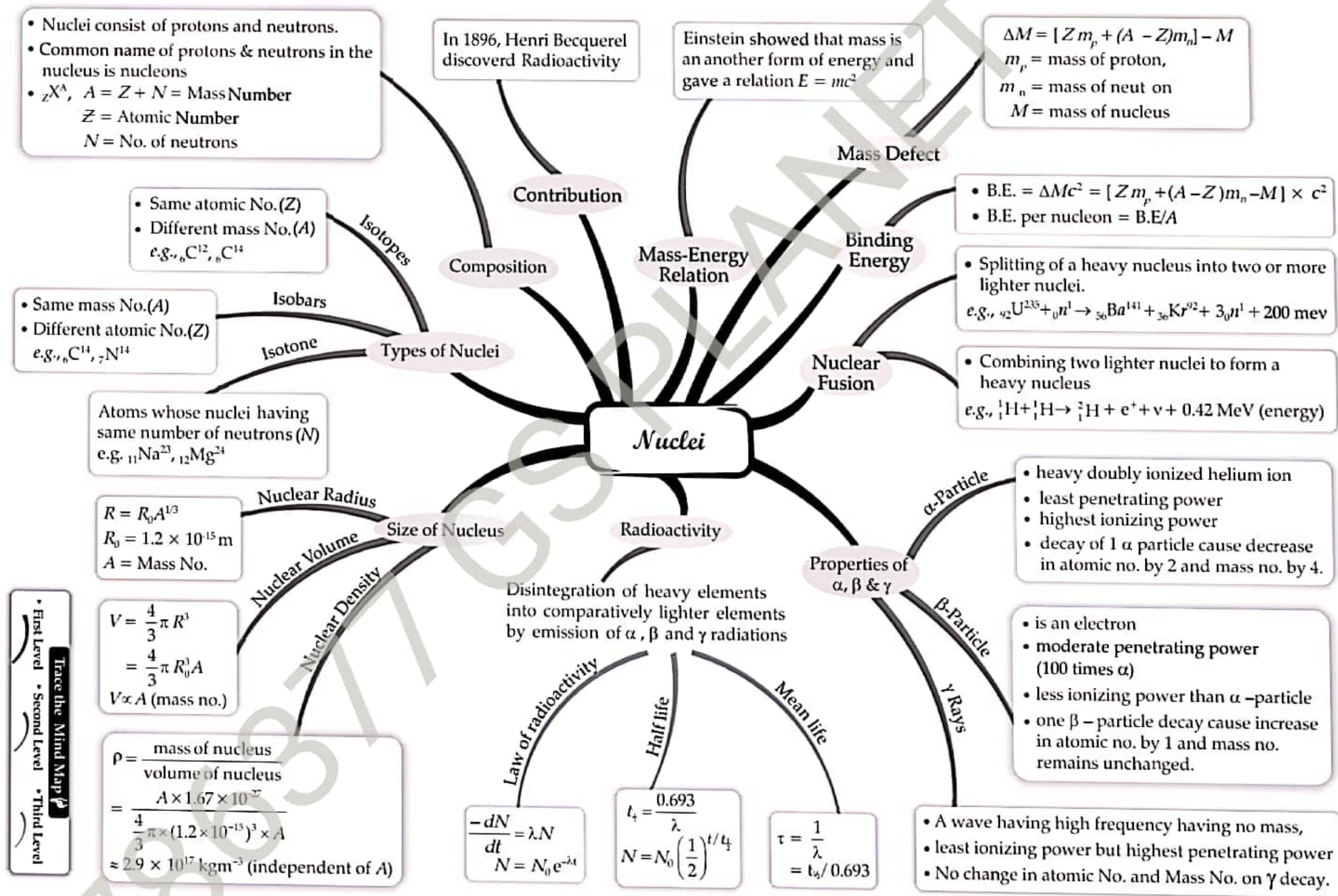


# अध्याय — 12 परमाणु



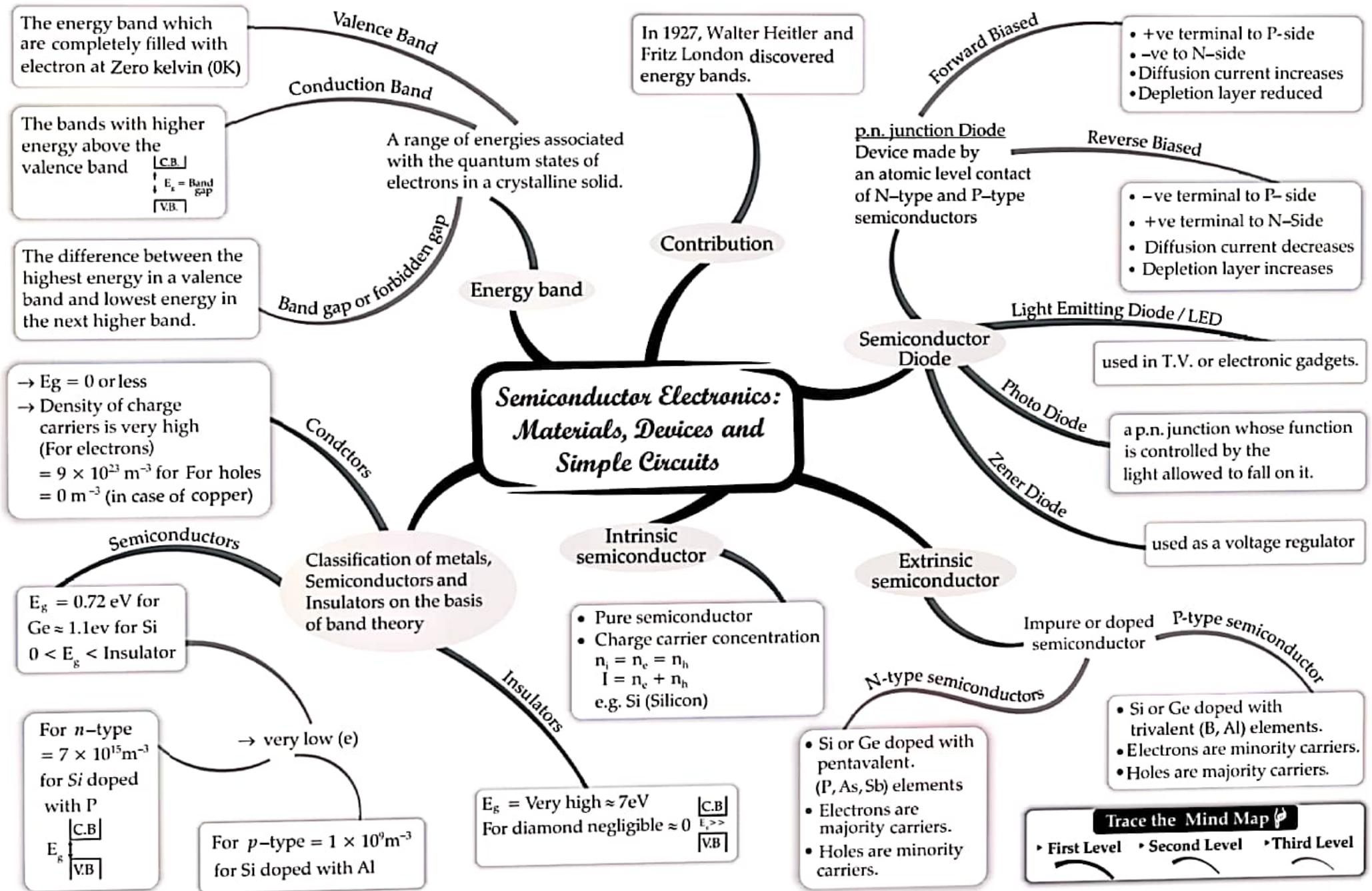
# अध्याय – 13 नाभिक





Trace the Mind Map  $\rho$

- First Level
- Second Level
- Third Level



**Trace the Mind Map**

• First Level • Second Level • Third Level

